



## اصلاح الگوریتم تخمین و کنترل ساختار متغیر برای فرود مقید مریخ‌نشین

مریم کیانی<sup>\*</sup>، رضا احمدوند

دانشکده مهندسی هواپیما، دانشگاه صنعتی شریف، تهران، ایران

### تاریخچه داوری:

دریافت: ۱۳۹۹/۱۱/۲۴

بازنگری: ۱۴۰۰/۰۴/۱۷

پذیرش: ۱۴۰۰/۰۴/۲۵

ارائه آنلاین: ۱۴۰۰/۰۴/۳۰

**خلاصه:** فرود بر سیاره مریخ یکی از مسائل مهم و چالشی صنعت فضایی بوده که با عدم قطعیت‌های سیستمی و محیطی

فراوانی مواجه است. لذا، دستیابی به مدل دقیقی از دینامیک مریخ‌نشین امکان‌پذیر نیست. در این راستا، پژوهش حاضر به طراحی الگوریتم یکپارچه تخمین و کنترل مرحله آخر فرود یعنی نشست پرداخته است به گونه‌ای که بتواند در برابر عدم قطعیت‌های موجود عملکرد قابل قبولی ارائه دهد. الگوریتم پیشنهادی بر مبنای چارچوب کاری کنترل ساختار متغیر شکل

گرفته و نیاز به ژاکوبین گیری و ایجاد اندازه‌گیری‌های مصنوعی را به کمک جایگزینی خطی‌سازی تحلیلی با خطی‌سازی آماری و تئوری معکوس تعمیم‌یافته ماتریس برطرف نموده است. عملکرد الگوریتم پیشنهادی در حضور عدم قطعیت‌های مختلف ناشی از شرایط اولیه تصادفی دینامیک کوپل مریخ‌نشین، خطای مدل‌سازی نیروها و گشتاورهای وارد، تاخیر زمانی عملکردهای کنترلی و بالحاظ کردن قیود هندسی محل فرود و اشباع عملکرها بررسی شده است. در ادامه، عملکرد الگوریتم ناوبری مقاوم پیشنهادی با نتایج حاصل از ترکیب الگوریتم‌های متداول فیلتر کالمون توسعه یافته و کنترل تنساسبی-انتگرالی-مشتقی در مساله غیرخطی فرود بر سیاره مریخ قیاس شده است. نتایج بدست آمده از شبیه‌سازی‌های مونت کارلو به وضوح عملکرد دقیق و مقاوم الگوی ناوبری و کنترل پیشنهادی را نشان داده و برتری آن نسبت به الگوریتم‌های متداول را تایید می‌کند.

### کلمات کلیدی:

تخمین مقاوم

کنترل مقاوم

فرود بر سیاره

فیلتر کالمون مکعبی

فیلتر ساختار متغیر

این دوره، جلوگیری از آسیب‌رسیدن به مریخ‌نشین نسبت به کنترل خطای نقطه فرود در اولویت بوده است. لذا در این نسل خطای فرود نسبت به نقطه موردنظر در حدود ۱۰۰ کیلومتر بود. اما در نسل‌های بعدی مریخ‌نشین‌ها، کنترل خطای فرود نسبت به نقطه فرود اهمیت بیشتری یافته و کیسه‌های خود را به یک سیستم فرود خودکار متsshکل از چند رانشگر و یک کامپیوتر جهت اجرای الگوریتم ناوبری و کنترل داد. بدین ترتیب، خطای فرود تا حدود ۱۰ کیلومتر کاهش پیدا کرد [۱]. امروزه خطای اعلام شده برای احتساب یک فرود دقیق<sup>۱</sup> کمتر از ۱۰۰ متر است [۲]. در این راستا، پژوهش حاضر به تخمین و کنترل یکپارچه حالات وضعی و انتقالی مریخ‌نشین برای یک فرود دقیق

### ۱- مقدمه

سفر به سیارات و سیارک‌ها همواره مورد توجه بشر بوده است و بدین منظور تلاش و تحقیقات صنعتی فراوانی را به خود اختصاص داده است. اکتشاف این سیارات نیازمند فرود دقیق با وضعیت صحیح در نقطه موردنظر است. در این بین با توجه به ماموریت‌های جاری و آتی صنعت فضایی، فرود بر سیاره مریخ از اهمیت ویژه‌ای برخودار است. تغییرات شرایط جوی و جاذبی به همراه عدم قطعیت‌های سیستمی مریخ‌نشین سبب می‌شود الگوی دقیقی برای پیش‌بینی رفتار دینامیکی وسیله در اختیار نباشد. در نسل‌های ابتدایی مریخ‌نشین‌ها، برای مرحله نشست از کیسه‌های استفاده شده است. در

<sup>1</sup> Pinpoint landing

\* نویسنده عهده‌دار مکاتبات: kiani@sharif.edu

حقوق مؤلفین به نویسنده‌گان و حقوق ناشر به انتشارات دانشگاه امیرکبیر داده شده است. این مقاله تحت لیسانس آفرینندگی مردمی (Creative Commons License) در دسترس شما قرار گرفته است. برای جزئیات این لیسانس، از آدرس <https://www.creativecommons.org/licenses/by-nc/4.0/legalcode> دیدن فرمائید.



فیلترهای کالمن توسعه یافته پیشنهاد شده است که حجم محاسباتی بالای دارد. در تمامی الگوریتم‌های پیشنهادی، از خطی‌سازی مدل دینامیکی و سیستم اندازه‌گیری استفاده شده که منجر به کاهش دقیق می‌شود. لذا یکی از اهداف این پژوهش توسعه یک فیلتر مقاوم بدون نیاز به خطی‌سازی است. بررسی پیشینه روش‌های کنترلی ارائه شده برای مسئله فرود به خوبی نشان می‌دهد که این روش‌ها را می‌توان به سه دسته کلی کنترل بهینه، کنترل پیش‌بین و کنترل مقاوم تقسیم‌بندی کرد. در کنترل بهینه، طراحی مسیر بهینه‌ای با کمترین زمان فرود [۱۰] یا مصرف بهینه سوخت [۱۱-۱۲] مدنظر است. کنترل پیش‌بین جزء دسته روش‌های کنترلی مبتنی بر مدل بوده که با استفاده از یک الگوی دینامیکی رفتار حالت سیستم در چند پنجره زمانی آینده را پیش‌بینی و سیگنال کنترلی با توجه به آن تولید می‌شود [۱۳-۱۵]. اما هنگامی که از این روش برای کنترل یک سیستم غیرخطی استفاده می‌شود به دلیل حجم بالای محاسبات کارایی خود را از دست می‌دهد [۱۳]. از میان روش‌های کنترل مقاوم، روش کنترل ساختارمتغیر [۱۶]، کنترل مولدگرشی [۱۷] و کنترل زمان محدود با تعاریف مختلفی از صفحه لغزش [۱۸-۱۹] جهت کنترل فرود بر سیاره مورد استفاده قرار گرفته‌اند. در مرجع [۲۰] از ترکیب مشاهده‌گر<sup>۵</sup> اغتشاش با کنترل  $H_{\infty}$  برای کنترل مسئله فرود بر مربیخ با وجود اغتشاشات شدید استفاده شده است. در حالی که در مراجع [۲۱-۲۳] که اخیراً در زمینه طراحی الگوریتم‌های هدایت و کنترل مربیخ‌نشین‌ها ارائه شده‌اند از روش‌های یادگیری عمیق برای بهینه‌سازی مسیر به صورت برخط استفاده شده است. روش‌هایی که تاکنون برای مسئله فرود ارائه شده‌اند همگی در راستای بهبود عملکرد سیستم هدایت و کنترل بوده است. عیب مشترک تمامی این روش‌ها پیچیدگی، حجم محاسبات بالا و عمدتاً خطی‌سازی مدل دینامیکی یا استفاده از مدل‌های غیردقیق است که می‌تواند از قابلیت اطمینان این دسته روش‌ها بکاهد. همانطور که پیش از این گفته شد، انگیزه اولیه این پژوهش تخمین و کنترل یکپارچه فرود بر سیاره مربیخ با استفاده از یک روش کاملاً غیرخطی و مقاوم است. در این راستا، رویکرد ساختارمتغیر به عنوان روش مبنا پذیرفته شده است. مشخصه اصلی این رویکرد سرعت بالا و مقاوم بودن در برابر عدم قطعیت‌های کراندار سیستمی و محیطی است [۲۴ و ۲۵]. در

پرداخته است. عمدۀ الگوریتم‌های موجود در هر دو حوزه تخمین و کنترل مبتنی بر مدل دینامیکی سیستم می‌باشند. در نتیجه، هرگونه خطای مدل‌سازی منجر به افت عملکرد یا واگرایی الگوریتم‌ها خواهد شد. همانطور که اشاره شد مواجهه با عدم قطعیت‌های محیطی و سیستمی در فاز فرود بر سیاره اجتناب‌ناپذیر است. از این رو باید الگوریتم پیشنهادی در حضور خطاهای پیش‌بینی نشده مقاوم بوده و همچنان عملکرد خوبی داشته باشد. به عنوان یک راهکار، مراجع [۳-۷] استفاده از خروجی‌های یک واحداندازه‌گیری اینرسی<sup>۱</sup> را به جای استفاده از مدل دینامیکی با عدم قطعیت بالا پیشنهاد کرده‌اند. با توجه به رشد خطا با زمان در سنسورهای اینرسی و نیاز به کالیبراسیون برخط، این روش با مشکلاتی نظیر افزایش خطای کنترلی مواجه است. الگوریتم تخمین یا به عبارتی فیلتر ناوبری یکی از اجزای اصلی در هر سیستم کنترل خودکار است که عمل حذف نویز و تأمین سیگنال پسخور برای زیرسیستم کنترل را انجام می‌دهد. در این زمینه، استفاده از فیلتر کالمن توسعه یافته<sup>۲</sup> برای مسائل غیرخطی متدالو ا است [۸]. اما با توجه به بالا بودن شدت غیرخطی بودن رفتار سیستم و عدم قطعیت‌های موجود در مسئله فرود بر سیاره مربیخ که گاهها با ورودی‌های نامعلوم نیز مواجه خواهد شد، فیلتر کالمن توسعه یافته عملکرد خوبی نداشته و امکان واگرایی آن نیز وجود دارد [۹]. فیلتر کالمن مبتنی بر تبدیل بی‌اثر<sup>۳</sup> و فیلتر کالمن مکعبی<sup>۴</sup> به عنوان راهکارهایی برای رفع مشکل خطی‌سازی فیلتر کالمن توسعه یافته و تأمین دقت بیشتر برای تخمین سیستم‌های غیرخطی توسعه یافته‌اند. اما تمامی این فیلترها نیز مبتنی بر مدل هستند و در حضور خطای مدل‌سازی یا ورودی نامعلوم عملکرد ضعیفی داشته و یا واگرا می‌شوند. از این رو، استفاده از فیلترهای خانواده کالمن برای مسائل غیرخطی با ورودی نامعلوم و عدم قطعیت‌های زیاد متغیر با زمان نظیر مسئله فرود بر سیاره گزینه مناسبی نیست. برای رفع این مشکل، نسخه‌های مقاومی از فیلتر کالمن مانند فیلتر کالمن با متغیر حالت افزوده شده، فیلتر کالمن دو مرحله‌ای، فیلتر کالمن چند مرحله‌ای و فیلتر کالمن مقاوم پیشنهاد شده‌اند [۹] که همان چارچوب کاری فیلتر کالمن توسعه یافته را حفظ کرده‌اند. در مرجع [۴] استفاده از فیلتر چند مدلی تطبیقی بر مبنای بانکی از

<sup>1</sup> Inertial Measurement Unit (IMU)<sup>2</sup> Extended Kalman Filter (EKF)<sup>3</sup> Unscented Kalman Filter (UKF)<sup>4</sup> Cubature Kalman Filter (CKF)

اتمسفری و شرایط ورود به جو سیاره، شرایط اولیه سیستم همواره با عدم قطعیت مواجه است. برای بررسی بیشتر عملکرد الگوریتم پیشنهادی در مواجهه با چنین شرایطی از دو دسته شرایط اولیه تصادفی کاملاً متفاوت نیز در شبیه‌سازی‌های مونت کارلو استفاده شده است. علاوه بر این، قید هندسی محل فروض به صورت یک مخروط در نظر گرفته شده و اثر اشیاع و تأخیر عملگرهای کنترلی در شبیه‌سازی‌ها در نظر گرفته شده است. در نهایت نیز نتایج حاصل از الگوریتم پیشنهادی با نتایج الگوریتم حاصل از ترکیب فیلتر کالمون توسعه یافته که مبنی بر خطی‌سازی سیستم و اندازه‌گیری است و کنترل‌رناسی-انتگرالی-مشتقی قیاس شده است. نتایج به دست آمده از شبیه‌سازی‌ها و قیاس انجام شده عملکرد قابل قبول الگوریتم تخمین و کنترل پیشنهادی را در مواجهه با مسئله غیرخطی فروض همراه با عدم قطعیت در مدل‌سازی تأیید می‌کند.

در ادامه مقاله، ابتدا مدل‌سازی سینماتیک و دینامیک وضعی و انتقالی مریخ‌نشین آورده شده است. سپس به معرفی فیلتر کالمون مکعبی-ساختارمتغیرهموار پرداخته شده و روش‌های پیشنهادی جهت رفع محدودیت‌های آن تشریح شده است. پس از آن، نتایج شبیه‌سازی‌های انجام شده برای بررسی عملکرد الگوی تخمین و کنترل یکپارچه پیشنهادی در حضور عدم قطعیت‌های متعدد سیستمی و محیطی آورده شده و با الگوریتم‌های پایه در این حوزه قیاس گردیده است. در پایان نیز، ضمن مرور مختصات کار انجام شده نتیجه حاصل از پژوهش حاضر آورده شده است.

## ۲- مدل‌سازی سینماتیک و دینامیک

در این پژوهش، برای توصیف حالت انتقالی و وضعی مریخ‌نشین صلب بهترتیب از بردار موقعیت در دستگاه مختصات کارتزین و زوایای اویلر استفاده شده است. دینامیک حرکت انتقالی-دورانی نیز به کمک قانون دوم نیوتون و قانون اویلر مدل شده است. دستگاه مختصات بدنی  $B$  واقع بر مرکز جرم مریخ‌نشین و دستگاه مختصات مرتع  $O$  واقع بر سایت یا محل فروض در نظر گرفته شده است. نیروی جاذبه و پسای آیرودینامیک برای معادلات حرکت انتقالی و گشتاورهای حاصله برای معادلات وضعیت در نظر گرفته شده‌اند. در این مدل‌سازی، سیاره مریخ کروی فرض شده است. در نهایت معادلات حرکت در دستگاه

بدنی به صورت زیر به دست آمده است [۲۹ و ۳۰].

این رویکرد، فیلتر ساختارمتغیرهموار<sup>۱</sup> بر مبنای تئوری‌هایی نزدیک به کنترل مود لغزشی و مقاوم در برابر عدم قطعیت‌های کراندار فرمول بندی شده است. این فیلتر برای اولین بار در سال ۲۰۰۲ برای سیستم‌های خطی تصادفی با نویز گاووسی ارائه و در سال ۲۰۰۷ برای سیستم‌های غیرخطی نیز توسعه یافت [۲۶]. قیاس الگوریتم ساختارمتغیرهموار با فیلترهای خانواده کالمون و حتی فیلتر ذره‌ای در حضور عدم قطعیت، پایداری این الگوریتم تخمین را تأیید می‌کند [۲۷]. برای دستیابی به فیلتری که در کنار مقاوم و پایدار بودن از دقق و بهینگی خانواده فیلترهای کالمون نیز بهره ببرد، این دو دسته فیلتر با یکدیگر ترکیب شده‌اند. قیاس انواع این فیلترهای ترکیبی در [۲۶ و ۲۸] نشان می‌دهد که ترکیب دو فیلتر ساختارمتغیرهموار کالمون مکعبی که کالمون مکعبی-ساختارمتغیرهموار<sup>۲</sup> نامیده می‌شود عملکرد بهتری داشته است. اما این فیلتر ترکیبی با فرض خطی بودن یا خطی‌سازی الگوی اندازه‌گیری از طریق ژاکوبین گیری نسبت به بردار حالت و برابری بعد بردار حالت و اندازه‌گیری توسعه داده شده است. از این رو، این الگوریتم با محدودیت‌هایی اعم از اینکه این فیلتر فقط برای سیستم‌های اندازه‌گیری خطی یا مشتق‌پذیر و هم‌بعد با بردار حالت قابل پیاده‌سازی است را به همراه دارد. نوآوری‌های پژوهش حاضر، رفع محدودیت‌های ذکر شده برای فیلتر کالمون مکعبی-ساختارمتغیرهموار است. بدین ترتیب که در مقاله حاضر، ابتدا فیلتر کالمون مکعبی-ساختارمتغیرهموار با حذف ژاکوبین گیری به کمک روش‌های آماری به یک فیلتر کاملاً غیرخطی ارتقاء داده شده است. سپس، با اصلاح ابعادی ضربی بهره برای هر بعدی از سیستم اندازه‌گیری قابل پیاده‌سازی شده است. در ادامه، برای بررسی دقق، عملکرد و قابلیت بکارگیری فیلتر پیشنهادی این پژوهش، فیلتر موردنظر در ترکیب با الگوریتم کنترل مدل‌لغزشی برای تخمین و کنترل یکپارچه حالات وضعی و انتقالی مریخ‌نشین در مرحله نشست استفاده شده است. در شبیه‌سازی‌های انجام‌شده برای لحاظ‌کردن خطای مدل‌سازی در الگوی تخمین و کنترل پیشنهادی از حضور اتمسفر، نیرو و گشتاور ناشی از پسای اتمسفری در مدل‌های مورد استفاده الگوریتم ناوبری و کنترل صرف‌نظر شده است، در حالی که در تولید سیگنال اندازه‌گیری شرایط واقعی اتمسفر، نیرو و گشتاورهای ایرودینامیکی لحاظ شده‌اند. از طرف دیگر به دلیل عدم قطعیت‌های

۱ Smooth Variable Structure Filter (SVSF)

۲ Cubature Kalman-Smooth Variable Structure Filter (CK-SVFS)

$$S_{pos} = \mathbf{v} + \Lambda_{pos} \mathbf{r}$$

$$\begin{bmatrix} \dot{\phi} \\ \dot{\theta} \\ \dot{\psi} \end{bmatrix} = \frac{1}{c(\theta)} \begin{bmatrix} c(\theta) & s(\phi)s(\theta) & c(\phi)s(\theta) \\ 0 & c(\phi)c(\theta) & -s(\phi)c(\theta) \\ 0 & s(\phi) & c(\phi) \end{bmatrix} \begin{bmatrix} \omega_x \\ \omega_y \\ \omega_z \end{bmatrix} \quad (1)$$

در روابط فوق،  $\Theta$  بردار مت Shankl از زوایای اویلر حول سه محور مختصات است. در هر دو رابطه، ماتریس ضریب بهره ( $\Lambda_{att}$  و  $\Lambda_{pos}$ ) باید یک ماتریس مثبت معین تنظیم شود. در نهایت با استفاده از قوانین کنترل مود لغزشی [۲۵] ورودی‌های کنترلی به صورت زیر به دست آمدند:

$$\mathbf{U}_{att} = J^{-1}[\boldsymbol{\omega} \times] \mathbf{J} \boldsymbol{\omega} - \Lambda_{att} \hat{\boldsymbol{\Theta}} - K'_{att} sign(S_{att}) \quad (11)$$

$$\mathbf{U}_{pos} = [\boldsymbol{\omega} \times] \mathbf{v} - \mathbf{g} - \Lambda_{pos} \hat{\mathbf{r}} - K'_{pos} sign(S_{pos}) \quad (12)$$

با توجه به قوانین کنترلی به دست آمده، واضح است که نیروهای آبرودینامیکی پسا و گشتاور اغتشاشی وارد بر مربیخ‌نشین به عنوان عدم قطعیت برای کنترل در نظر گرفته شده و در قوانین کنترلی به دست آمده اثر آنها لحاظ نشده است و به عنوان یک عامل پیش‌بینی نشده برای کنترل کننده عمل می‌کنند. از آنجا که جهت محاسبه فرامین کنترلی از پسخور بردار حالت تخمین‌زده شده توسط فیلتر ناویری استفاده می‌شود، قوانین کنترلی را باید بر حسب تخمین متغیرها نوشت:

$$\mathbf{U}_{att} = J^{-1}[\hat{\boldsymbol{\omega}} \times] \mathbf{J} \hat{\boldsymbol{\omega}} - \Lambda_{att} \hat{\boldsymbol{\Theta}} - K'_{att} sign(\hat{S}_{att}) \quad (13)$$

$$\mathbf{U}_{pos} = [\hat{\boldsymbol{\omega}} \times] \hat{\mathbf{v}} - \mathbf{g} - \Lambda_{pos} \hat{\mathbf{r}} - K'_{pos} sign(\hat{S}_{pos}) \quad (14)$$

جهت اثبات پایداری قوانین کنترلی به دست آمده برای کنترل وضعیت و موقعیت از تئوری لیاپانوف استفاده شده که در ادامه آورده شده است.

$$V = \frac{1}{2} \mathbf{S}_{att}^T \mathbf{S}_{att} \quad (15)$$

$$\dot{V} = \mathbf{S}_{att}^T \dot{\mathbf{S}}_{att} \quad (16)$$

$$\dot{V} = \mathbf{S}_{att}^T [\dot{\boldsymbol{\omega}} + \Lambda_{att} \dot{\boldsymbol{\theta}}] \quad (17)$$

$$\dot{V} = \mathbf{S}_{att}^T [J^{-1}(-[\boldsymbol{\omega} \times] \mathbf{J} \boldsymbol{\omega} + \mathbf{M}_{dist}) + \mathbf{U}_{att} + \Lambda_{att} \dot{\boldsymbol{\theta}}] \quad (18)$$

$$\dot{V} = \mathbf{S}_{att}^T [J^{-1}(-[\boldsymbol{\omega} \times] \mathbf{J} \boldsymbol{\omega} + \mathbf{M}_{dist}) +$$

$$\{J^{-1}[\boldsymbol{\omega} \times] \mathbf{J} \boldsymbol{\omega} - \Lambda_{att} \dot{\boldsymbol{\theta}}\} - K'_{att} sign(\mathbf{S}_{att}) + \Lambda_{att} \dot{\boldsymbol{\theta}}]$$

$$\begin{bmatrix} \dot{x} \\ \dot{y} \\ \dot{z} \end{bmatrix} = \begin{bmatrix} v_x \\ v_y \\ v_z \end{bmatrix} - \begin{bmatrix} 0 & -\omega_z & \omega_y \\ \omega_z & 0 & -\omega_x \\ -\omega_y & \omega_x & 0 \end{bmatrix} \begin{bmatrix} x \\ y \\ z \end{bmatrix} \quad (2)$$

$$\dot{\boldsymbol{\omega}} = J^{-1}(\mathbf{M}_{dist} + \mathbf{M}_{Actuator} - [\boldsymbol{\omega} \times] \mathbf{J} \boldsymbol{\omega}) \quad (3)$$

$$\dot{\mathbf{v}} = -[\boldsymbol{\omega} \times] \mathbf{v} + \mathbf{g} + \frac{\mathbf{D}}{m} + \frac{\mathbf{F}_{Actuator}}{m} \quad (4)$$

در این روابط  $c(\cdot)$  و  $s(\cdot)$  به ترتیب همان توابع  $\cos(\cdot)$  و  $\sin(\cdot)$  هستند. مدل‌سازی شتاب جاذبه و پسای اتمسفری نیز بر اساس مرجع [۲۹] اجرا شده است.

### ۳- طراحی الگوریتم تخمین و کنترل

در ادامه به صورت جداگانه به طراحی کنترل و فیلتر ناویری پرداخته شده است.

#### ۳-۱- طراحی کنترل

برای دستیابی به معادلات کنترلی مسئله مورد نظر، ابتدا با توجه به معادلات حرکت ورودی‌های کنترلی به صورت زیر تعریف می‌شوند.

$$\mathbf{U}_{att} = J^{-1} \mathbf{M}_{Actuator} \quad (5)$$

$$\mathbf{U}_{pos} = \frac{\mathbf{F}_{Actuator}}{m} \quad (6)$$

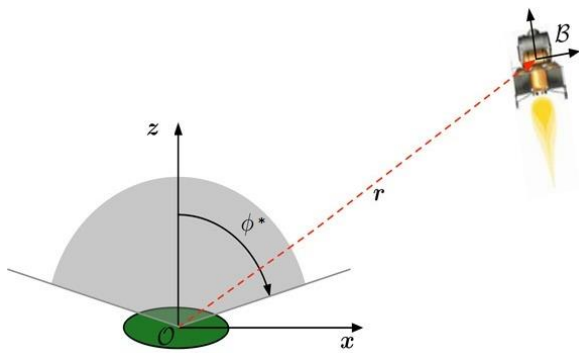
در نتیجه

$$\dot{\boldsymbol{\omega}} = J^{-1}(\mathbf{M}_{dist} - [\boldsymbol{\omega} \times] \mathbf{J} \boldsymbol{\omega}) + \mathbf{U}_{att} \quad (7)$$

$$\dot{\mathbf{v}} = -[\boldsymbol{\omega} \times] \mathbf{v} + \mathbf{g} + \frac{\mathbf{D}}{m} + \mathbf{U}_{pos} \quad (8)$$

حال با در نظر گرفتن معادلات (۱)، (۲)، (۷)، (۸) و تعریف صفحه لغزش مناسب برای مسئله پیش رو، می‌توان با استفاده از روش کنترلی مودلغزشی، قوانین کنترلی را برای کنترل وضعیت و موقعیت به دست آورد. صفحات لغزش برای معادلات وضعیت و موقعیت به صورت زیر تعریف شده‌اند:

$$S_{att} = \boldsymbol{\omega} + \Lambda_{att} \boldsymbol{\theta} \quad (9)$$



شکل ۱. قید موقعیت مریخ‌نشین [۱۳]

Fig. 1. Position constraint of the landing point [13]

بردار موقعیت توسط سیستم اندازه‌گیری در اختیار قرار می‌گیرند. لذا معادلات فرآیند و سیستم اندازه‌گیری تصادفی به صورت کلی عبارتند از:

$$\dot{x} = f(x) + U + w \quad (24)$$

$$z = h(x) + v \quad (25)$$

در روابط بالا پارامترهای  $w$  و  $v$  به ترتیب نویز فرآیند و نویز اندازه‌گیری با میانگین صفر و کواریانس‌های  $Q$  و  $R$  هستند. همانطور که اشاره شد برای این مسئله از فیلتر مقاوم کالمن مکعبی-ساختارمتغیرهموار اصلاح شده استفاده می‌شود. منطق کارکرد این الگوریتم به این صورت است که ابتدا با توجه به میزان عدم قطعیت‌های موجود در سیستم، یک لایه مرزی ثابت  $\Psi_{const}$  تعریف می‌شود. سپس در هر گام زمانی این کران از پیش تعیین شده با لایه  $\Psi$  که بر مبنای بهینگی تخمین محاسبه شده است، قیاس می‌شود. اگر  $\Psi_{const} \leq \Psi$ ، عمل بروزرسانی تخمین با استفاده از ضربه بهره فیلتر کالمن مکعبی انجام می‌شود. در غیر اینصورت برای حفظ پایداری تخمین و جلوگیری از واگرا شدن تخمین برای بروزرسانی از ضربه بهره فیلتر ساختارمتغیرهموار استفاده می‌شود. عملکرد این فیلتر به صورت شماتیک در شکل ۲ آورده شده است.

الگوریتم کالمن مکعبی-ساختارمتغیرهموار در حالت پایه عبارت است از:

• مقداردهی اولیه به تخمین بردار حالت و کواریانس:

$$\hat{x}_{0|0} = \hat{x}_0, \quad S_{0|0}^{xx} = chol(P_{0|0}^{xx}) \quad (26)$$

• تعریف نقاط سیگما و گام پیش‌بینی به ازای  $\{1, 2, \dots, k\}$ :

$$\dot{V} = \mathbf{S}_{att}^T \left[ J^{-1} \mathbf{M}_{dist} - K_{att}^* \text{sgn}(\mathbf{S}_{att}) \right] \quad (20)$$

حال باید از طرف راست رابطه به دست آمده در بالا نرم گرفته و کوچکتر از صفر قرار داد و لذا داریم:

$$\|\mathbf{S}_{att}\| \|J^{-1} \mathbf{M}_{dist}\| - \|\mathbf{S}_{att}\| \|K_{att}^*\| < 0 \quad (21)$$

رابطه بالا نشان می‌دهد که به ازای هر ممکن خارجی که اینجا به عنوان اغتشاش کردار در نظر گرفته شده است حتماً یک  $K_{att}^*$  وجود دارد که می‌تواند مشتق تابع لیاپانوف انتخاب شده را منفی کند و لذا کنترل کننده موردنظر پایدار خواهد بود. پایداری کنترل کننده عوارض طبیعی اطراف نقطه فرود، قید موقعیت به صورت یک محدوده مخروطی اطراف نقطه فرود برای کنترل کننده در نظر گرفته شده است [۱۳] که به صورت شماتیک در شکل ۱ آورده شده است. این قید عبارت است از:

$$r.z \geq r \cos(\phi) \quad (22)$$

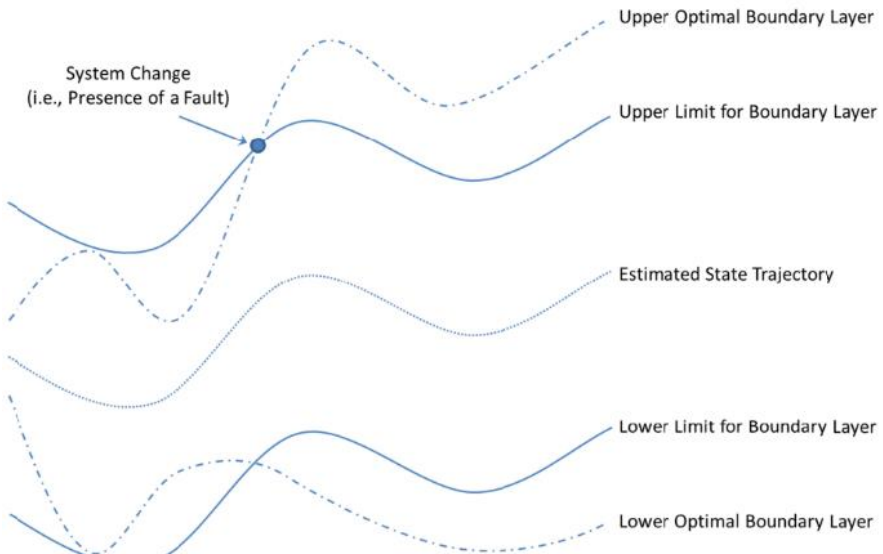
همچنین قید اشباع عملگرهای کنترلی برابر با ۴۰۰۰ نیوتون در ورودی‌های کنترلی مربوط به حرکت انتقالی و ۲ نیوتون-متر برای ورودی‌های کنترلی مربوط به حرکت دورانی اعمالی به مریخ‌نشین در نظر گرفته شده است.

### ۲-۳- طراحی فیلتر ناوبری

جهت طراحی فیلتر ناوبری، ابتدا  $x = [\Theta^T \quad r^T \quad \omega^T \quad v^T]^T$  به عنوان بردار حالت در مسئله پیش رو در نظر گرفته می‌شود. لذا معادلات فضای حالت سیستم را می‌توان به صورت زیر بازنویسی نمود:

$$\dot{x} = \begin{bmatrix} \dot{x}_k \\ \dot{x}_d \end{bmatrix} = \begin{bmatrix} f_k(x) \\ f_d(x) \end{bmatrix} + \begin{bmatrix} \theta \\ U_{tot} \end{bmatrix} \quad (23)$$

که در آن  $f_k(x)$  عبارت برداری سمت راست معادلات (۱) و (۲) است. در حالیکه  $f_d(x)$  سمت راست معادلات (۳) و (۴) را با توجه به تعریف  $U_{tot} = [U_{att}^T \quad U_{pos}^T]^T$  شامل می‌شود. پایین نویس های  $k$  و  $d$  نیز به ترتیب به متغیرهای حالت سینماتیکی و دینامیکی اشاره می‌کنند. برای تخمین بردار حالت سیستم در چارچوب بیزین، نیاز به تعریف یک سیستم اندازه‌گیری در کنار معادلات حرکت سیستم دینامیکی هستیم. در این مقاله فرض شده است که زوایای اویلر و



شکل ۲. منطق کارکرد فیلتر کالمن مکعبی- ساختار متغیر هموار [28]

Fig. 2. CK-SVSF estimation concept

با توجه به قیاس لایه مرزی بهینه و کران از پیش تعیین شده، محاسبه ضریب بهره از الگوریتم فیلتر کالمن مکعبی یا ساختار متغیر هموار تعیین می کند.

$$\text{if } \Psi_k <= \Psi_{\text{const}} \\ K = P_{k|k-1}^{xz} P_{k|k-1}^{zz}^{-1} \\ \text{else}$$
(۴۰)

$$K = H^{-1} \text{diag}(E^*) \text{diag}(\text{sat}(\frac{e_{k|k-1}^z}{\psi_{\text{const}}})) \text{diag}(e_{k|k-1}^z)$$

$$\hat{x}_{k|k} = \hat{x}_{k|k-1} + K e_{k|k-1}^z$$
(۴۱)

$$P_{k|k}^{xx} = P_{k|k-1}^{xx} - K P_{k|k-1}^{xz} K^T$$
(۴۲)

$$\xi = \sqrt{n} [\mathbf{I}_{n \times n}, -\mathbf{I}_{n \times n}]$$
(۴۳)

$$\tau^i = \frac{1}{2n}$$
(۴۴)

در روابط فوق،  $n$  بعد بردار حالت و  $S^{xx}$  ریشه مربعی ماتریس کواریانس خطای تخمین یعنی  $P^{xx}$  است که می تواند با الگوریتم چولسکی محاسبه شود. ماتریس  $H$  که در رابطه (۳۳) آمده است، درواقع ژاکوبین سیستم اندازه گیری نسبت به بردار حالت در الگوریتم پایه فیلتر مورد نظر است. از آنجا که همواره بعد بردار حالت و اندازه گیری

$$\chi_{k-1|k-1}^i = S_{k-1|k-1}^{xx} \xi_i + \hat{x}_{k-1|k-1}; \quad i = 1, 2, \dots, 2n$$
(۴۷)

$$\chi_{k|k-1}^i = f(\chi_{k-1|k-1}^i) + U_k$$
(۴۸)

$$\hat{x}_{k|k-1} = \sum_{i=1}^{2n} \tau^i \chi_{k|k-1}^i$$
(۴۹)

$$P_{k|k-1}^{zz} = \sum_{i=1}^{2n} \tau^i (\chi_{k|k-1}^i - \hat{x}_{k|k-1})(\chi_{k|k-1}^i - \hat{x}_{k|k-1}) + \mathbf{Q}$$
(۵۰)

محاسبه خطای:

$$\chi_{k|k-1}^i = S_{k|k-1}^{xx} \xi_i + \hat{x}_{k|k-1}$$
(۵۱)

$$Y_{k|k-1}^i = h(\chi_{k|k-1}^i)$$
(۵۲)

$$\hat{z}_{k|k-1} = \sum_{i=1}^{2n} \tau^i Y_{k|k-1}^i$$
(۵۳)

$$P_{k|k-1}^{zz} = \sum_{i=1}^{2n} \tau^i (Y_{k|k-1}^i - \hat{z}_{k|k-1})(Y_{k|k-1}^i - \hat{z}_{k|k-1}) + \mathbf{R}$$
(۵۴)

$$P_{k|k-1}^{xz} = \sum_{i=1}^{2n} \tau^i (\chi_{k|k-1}^i - \hat{x}_{k|k-1})(Y_{k|k-1}^i - \hat{z}_{k|k-1})$$
(۵۵)

$$e_{k|k-1}^z = z_k - \hat{z}_{k|k-1}$$
(۵۶)

$$e_{k-1|k-1}^z = z_{k-1} - \hat{z}_{k-1|k-1}$$
(۵۷)

$$E^* = |e_{k|k-1}^z| + \gamma |e_{k-1|k-1}^z|$$
(۵۸)

محاسبه لایه مرزی بهینه متغیر و انتخاب بهره:

$$\Psi_k = P_{k|k-1}^{zz} (P_{k|k-1}^{zz} - \mathbf{R})^{-1} \text{diag}(E^*)$$
(۵۹)

## جدول ۱. پارامترها و شرایط اولیه شبیه‌سازی

Table 1. Simulation parameters and initial conditions

پارامتر	مقدار
$r$ (m)	[۷۰۰ - ۴۰۰ ۵۲۰]
$v$ (m/s)	[۹۱/۵۵ - ۱۲/۱۶ ۳۸/۳۴]
$\omega$ (rad/s)	[۰ . . .]
$[\varphi, \theta, \psi]$ (deg)	[۷۰ ۳۰ ۶۰] [۱۳۴۷/۵ . . .] [۱۳۹۵/۶ - ۸۳/۵ . . .] [-۸۳/۵ ۱۴۹۱/۸]
$J$ (kg.m <sup>۲</sup> )	۷۰۰
$m$ (kg)	۴۲۸۲۸
$\mu$ (km <sup>۲</sup> /s <sup>۲</sup> )	۳۳۹۶/۲
$R_{eq}$ (km)	۷/۸۳
$A$ (m <sup>۲</sup> )	۲
$C_D$	۶۵
$\phi$ (deg)	[۰/۲ ۰/۲ ۰/۲] <sub>+ N(.,.)</sub>
$M_{dist}$ (N.m)	

جدول ۲. پارامترهای استفاده شده برای الگوریتم تخمین و کنترل  
Table 2. Tuned parameters of the estimation and control algorithm

پارامتر	مقدار
$\Lambda_{att}$	diag([۰/۲ ۰/۲ ۰/۲])
$\Lambda_{pos}$	diag([۰/۳ ۰/۳ ۰/۱])
$K'_{att}$	diag([۰/۰۵ ۰/۰۵ ۰/۰۵])
$K'_{pos}$	diag([۰/۰۵ ۰/۰۵ ۰/۰۵])
$Q$	(1e-۸) $I_{12 \times 12}$
$R$	diag([(۰/۱ $\times \pi / 180$ ) $I_{1 \times 12}, 2 \times I_{1 \times 12}]])$
$\hat{x}$	$x$
$P_{xx}$	diag([(۰/۱ $\times ۵$ ) $I_{1 \times 3}, (۰/۱ \times ۵) I_{1 \times 3}, ۰/۲ I_{1 \times 3}])$
$\Psi_{const}$	diag([۰/۱ ۰/۱ ۰/۱ ۵۰ ۵۰ ۵۰])
$\gamma$	۰/۱

$$\hat{x}_0 = x_0 + \sqrt{D} N(0, 1)$$

$$D = diag([(1e-5) I_{1 \times 3}, 900 I_{1 \times 3}, (1e-6) I_{1 \times 3}, (1e-4) I_{1 \times 3}]) \quad (47)$$

تاریخچه زمانی مولفه‌های بردار موقعیت و زوایای اویلر کنترل شده در شکل ۳ آورده شده است. مشاهده می‌شود که برای الگوریتم غیرخطی پیشنهادی، متغیرهای حالت تقریباً پس از ۱۲۰ ثانیه به صفر یا همان مبدأ که مقدار مطلوب بوده است، همگرا شده‌اند. اما در مورد الگوریتم فیلتر کالمون توسعه یافته-کنترلر تناسبی، مشتقی،

با هم برابر نیستند و همچنین ممکن است الگوی اندازه‌گیری تابعی به شدت غیرخطی از بردار حالت باشد، به عنوان یکی از نوآوری‌های مقاومت حاضر پیشنهاد می‌شود که به جای خطی‌سازی تحلیلی سیستم اندازه‌گیری از خطی‌سازی آماری استفاده شود، یعنی ماتریس  $H$  به صورت زیر پیشنهاد شده است:

$$H = P_{k|k-1}^{xx^T} P_{k|k-1}^{xx}^{-1} \quad (45)$$

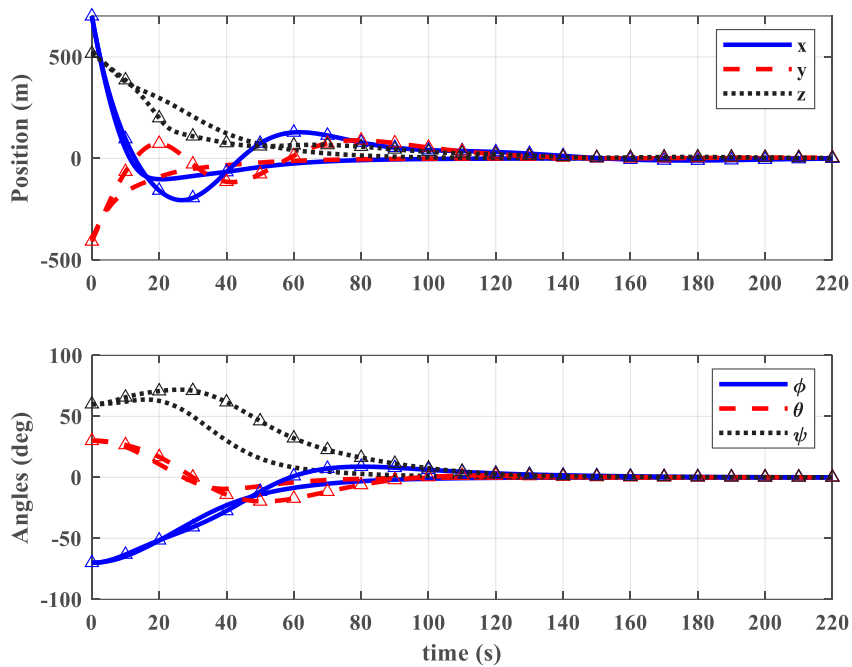
با استفاده از رابطه فوق علاوه بر اینکه محاسبه ژاکوبین سیستم اندازه‌گیری از الگوریتم فیلتر حذف می‌شود بلکه می‌تواند سبب افزایش دقت فیلتر شود از طرفی دیگر شرط الزام مشتق‌پذیری سیستم اندازه‌گیری نیز برداشته می‌شود. و برای حالتی که بعد خروجی سیستم اندازه‌گیری با بعد بردار حالت برابر نباشد به عنوان دیگر نوآوری این پژوهش استفاده از روش زیر پیشنهاد می‌شود که مبتنی بر تئوری معکوس تعمیم یافته ماتریس است و در آن ماتریس  $H$  مطابق رابطه (۴۰) محاسبه شده است:

$$H^{-1} = (H^T H)^{-1} H^T \quad (46)$$

## ۴- شبیه‌سازی مسئله فرود

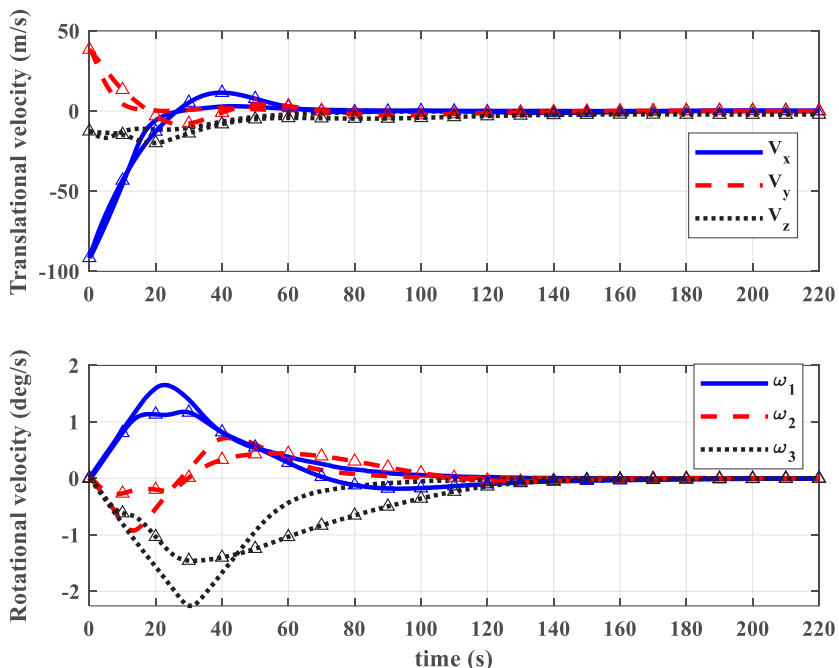
فرود مrixخنشین در فاز نشست با توجه به شرایط داده شده در جداول ۱ و ۲ شبیه‌سازی شده است. برای بررسی عملکرد الگوریتم پیشنهادی ۱۰۰ شبیه‌سازی مونت‌کارلو با گام زمانی ۱/۰ ثانیه و به مدت زمان ۲۲۰ ثانیه انجام شده است. برای اعمال عدم قطعیت اتمسفری در این شبیه‌سازی‌ها، در مدل دینامیکی مورد استفاده در فیلترهای ناوپری و قانون‌های کنترلی از حضور اتمسفر، نیروی پسا و گشتاور اغتشاشی منتجه صرفظر شده است. در حالی که سیگنال‌های اندازه‌گیری در حضور این نیرو و گشتاور تولید شده‌اند. یعنی فیلتر و کنترل کننده از حضور این نیرو و گشتاور آگاه نبوده و مدل دینامیکی مورد استفاده آنها عدم قطعیت و خطای مدل‌سازی بالای دارد.

در جداول فوق، منظور از  $I_{1 \times d}$  بردار سطحی  $d$  بعدی است که تمام عناصر آن مساوی عدد ۱ است و  $(\delta^x, \delta^y, \delta^z) N$  متغیر تصادفی نرمال با میانگین صفر و واریانس  $\delta^2$  است. برای انجام شبیه‌سازی مونت‌کارلو، شرایط اولیه در هر اجرا به صورت تصادفی مطابق زیر تولید می‌شود:



شکل ۳. تاریخچه زمانی المان‌های بردار موقعیت و زوایای اویلر - نشانگر مثلث مربوط به فیلتر کالمن توسعه یافته-کنترلی تنسی، مشتقی، انتگرالی است

Fig. 3. Time history of position vector components and Euler angles- Triangle markers stand for the EKF-PID

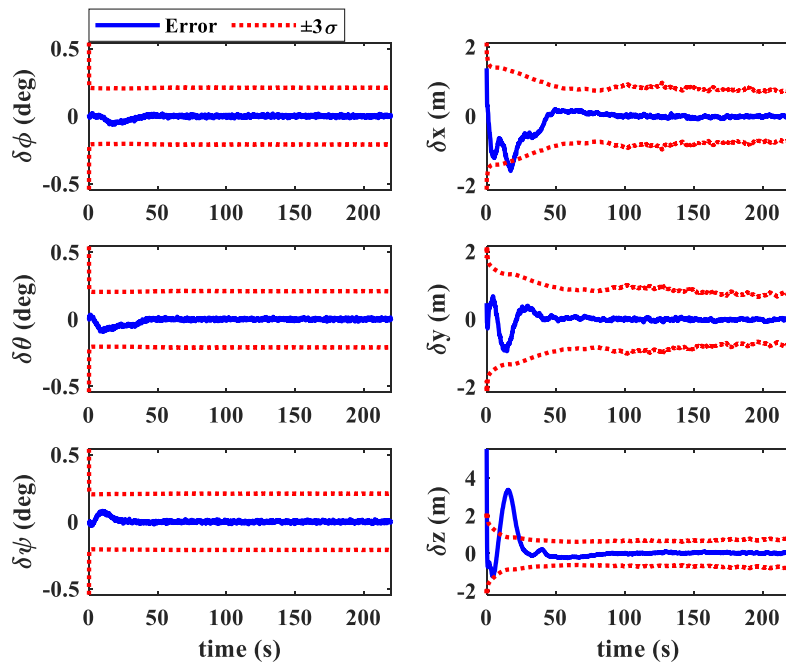


شکل ۴. تاریخچه زمانی المان‌های بردار سرعت انتقالی و دورانی - نشانگر مثلث مربوط به فیلتر کالمن توسعه یافته-کنترلی تنسی، مشتقی، انتگرالی است

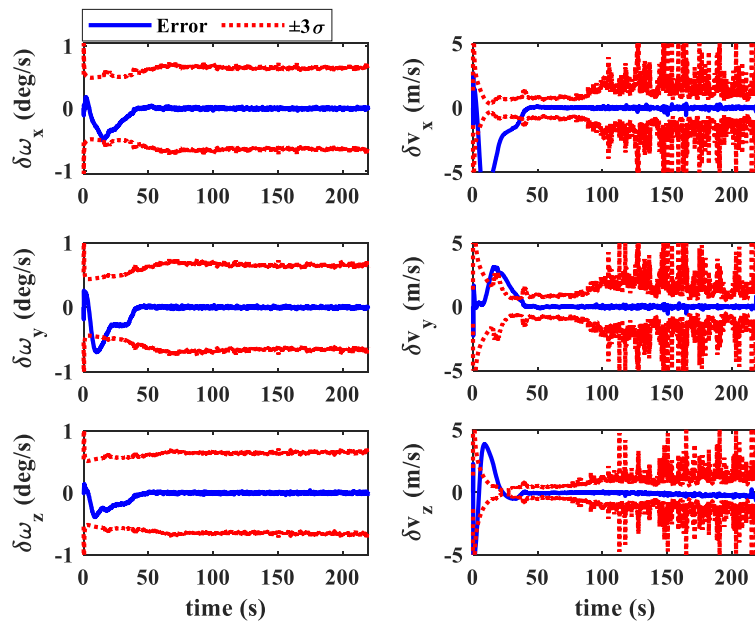
Fig. 4. Time history of translational and rotational velocity vectors- Triangle markers stand for the EKF-PID

نسبت به فیلتر کالمن توسعه یافته-کنترلر تنسی، مشتقی است. لازم به ذکر است که نتایج به دست آمده از الگوریتم فیلتر کالمن توسعه یافته-کنترلر تنسی، مشتقی با نشانگر مثلث در شکل‌ها مشخص شده است.

انتگرالی همگرایی متغیرهای حالت با تأخیر زمانی بیشتری محقق شده است. در شکل ۴ نیز تاریخچه زمانی مولفه‌های بردار سرعت انتقالی و دورانی کنترل شده آورده شده است. نتایج آورده شده در این شکل نیز نشان دهنده زمان همگرایی کوتاه‌تر در الگوریتم پیشنهادی



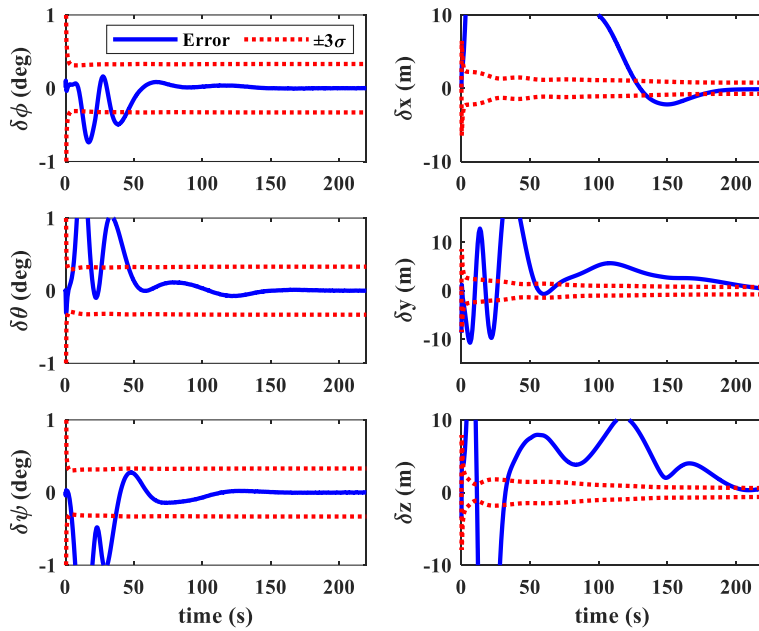
شکل ۵. تاریخچه زمانی خطای تخمین بردار موقعیت و زوایای اوبلر- فیلتر کالمن مکعبی- ساختارمتغیرهموار اصلاح شده  
Fig. 5. Estimation error of position vector components and Euler angles- modified CK-SVSF



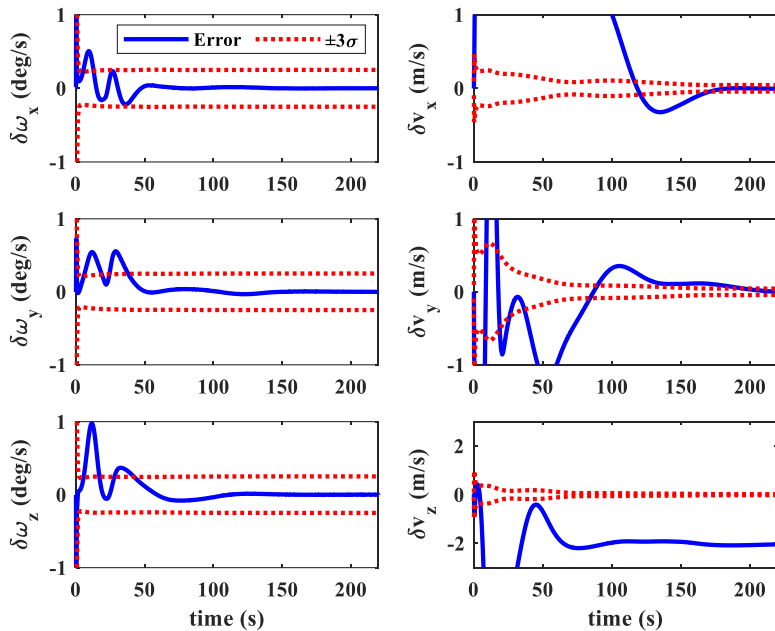
شکل ۶. تاریخچه زمانی خطای تخمین بردارهای سرعت انتقالی و دورانی- فیلتر کالمن مکعبی- ساختارمتغیرهموار اصلاح شده  
Fig. 6. Estimation error of translational and rotational velocity vectors- modified CK-SVSF

در تمام متغیرهای حالت برساند. نمودارهای نشان داده شده در این شکل ها علاوه بر پایداری تخمین، عملکرد خوب الگوریتم تخمین در مواجهه با عدم قطعیت های در نظر گرفته شده را نیز نشان می دهد. تاریخچه زمانی خطای تخمین برای متغیرهای حالت در باند  $\pm 3\sigma$  در فیلتر کالمن توسعه یافته نیز در شکل های ۷ و ۸ ارائه

تاریخچه زمانی خطای تخمین مولفه های بردار حالت ناشی از فیلتر کالمن مکعبی- ساختارمتغیرهموار اصلاح شده در الگوریتم غیرخطی پیشنهادی در باند  $\pm 3\sigma$  در شکل های ۵ و ۶ ارائه شده است. مشاهده می شود که فیلتر اصلاح شده پیشنهادی این پژوهش توانسته است خطای تخمین را در مدت زمان حدود ۵۵ ثانیه به مقدار مطلوب صفر



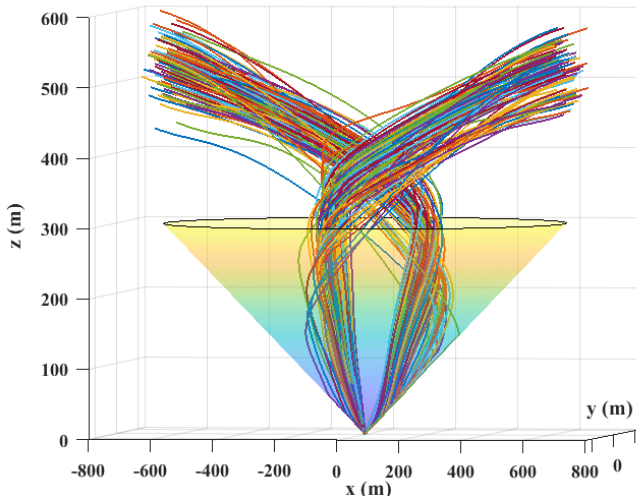
شکل ۷. تاریخچه زمانی خطای تخمین بردار موقعیت و زوایای اوبلر - فیلتر کالمن توسعه یافته  
Fig. 7. Estimation error of position vector components and Euler angles- EKF



شکل ۸. تاریخچه زمانی خطای تخمین بردارهای سرعت انتقالی و دورانی - فیلتر کالمن توسعه یافته  
Fig. 8. Estimation error of translational and rotational velocity vectors- EKF

همگرایی تخمین نیز افزایش یافته است. از آنجا که عدم قطعیت‌های ناشی از صرفنظر کردن از اتمسفر و شرایط اولیه تصادفی تأثیر بیشتری بر دینامیک انتقالی سیستم دارد به وضوح معلوم است که افت عملکرد فیلتر کالمن توسعه یافته در تخمین دینامیک انتقالی بیش از دینامیک وضعی است. خطای تخمین در متغیرهای وضعی تقریباً پس از ۱۵۰

شده‌اند. نتایج آورده شده در این شکل‌ها در مقایسه با نتایج به دست آمده برای الگوریتم پیشنهادی کالمن مکعبی- ساختار متغیر هموار اصلاح شده نشان‌دهنده عملکرد ضعیفتر فیلتر کالمن توسعه یافته در مقابله با عوامل غیرخطی شدید و عدم قطعیت‌های یاد شده است. چرا که دامنه خطاهای در خروجی این الگوریتم بیشتر است و زمان



شکل ۹. مسیرهای فرود متفاوت برای مریخ‌نشین به ازای شرایط اولیه متفاوت تصادفی به دست آمده از الگوریتم پیشنهادی

**Fig. 9. Different landing trajectories of the Mars lander for various stochastic initial conditions**

با توجه به رویکرد کنترل ساختارمتغیر، الگوریتم یکپارچه مقاومی برای مسئله فرود بر سیاره ارتقا داده شده است. الگوریتم تخمین بردار حالت انتقالی-وضعی، ترکیبی از فیلتر مقاوم ساختارمتغیر و فیلتر بهینه کالمن مکعبی است که با کنترلر مقاوم مود لغزشی یکپارچه شده است. پیش از بکارگیری این الگوریتم که برای اندازه‌گیری‌های خطی و هم بعد با بردار حالت توسعه داده شده است، این دو محدودیت در مقاله حاضر به کمک خطی‌سازی آماری و تئوری معکوس تعمیم یافته ماتریس مرتفع شده است. بدین ترتیب، یک الگوریتم تخمین با قابلیت اعمال به هر سیستم دینامیکی غیرخطی و با الگوی غیرخطی بردار اندازه‌گیری از بعد دلخواه در این پژوهش توسعه یافته است. مسئله فرود بر سیاره مریخ با توجه به عدم قطعیت‌های متغیر با زمان و شدت غیرخطی بودن بالای معادلات سیستم دینامیکی مورد توجه قرار گرفته است. در شبیه‌سازی فاز نشست، خطای تصادفی شرایط اولیه، خطای مدلسازی نیرو و گشتاورهای وارد، قید هندسی محل فرود، قید اشباع عملکرگها و اثر تأخیر عملکرگها مورد بررسی قرار گرفته و عملکرد خوب الگوریتم مقاوم پیشنهادی بر حسب خطای تجمعی تخمین و کنترل نشان داده شده است. علاوه بر این، خروجی این شبیه‌سازی‌های مونت‌کارلو با نتایج حاصل از ترکیب فیلتر کالمن توسعه یافته و کنترلر تناسبی-انتگرالی-مشتقی قیاس شده است. قیاس انجام شده عملکرد قابل قبول الگوریتم تخمین و کنترل مقاوم پیشنهادی را برای دستیابی به یک فرود دقیق تأیید می‌کند.

ثانیه به صفر همگرا شده است در حالیکه زمان همگرایی متغیرهای حالت انتقالی تقریباً ۲۱۰ ثانیه است. علاوه بر این، تخمین المان سوم بردار سرعت از محدوده  $\pm 35$  خارج شده است. این نتایج نشان‌دهنده حساسیت بالای فیلتر کالمن توسعه یافته به عدم قطعیت مدل دینامیکی است.

مسیرهای فرود مختلف سیاره‌نشین به ازای شرایط اولیه متفاوت طی شبیه‌سازی‌های مونت کارلوی الگوریتم پیشنهادی شامل اجراهای تصادفی در شکل ۹ آورده شده است. نتایج به دست آمده به خوبی نشان‌دهنده عملکرد خوب الگوریتم پیشنهادی این پژوهش در شرایط اولیه‌های متفاوت و مقاوم بودن نسبت به خطای تصادفی اولیه است. همانطور که پیش از این گفته شد، قید موقعیت در این شکل به صورت یک مخروط حول نقطه فرود در نظر گرفته شده است. در این شکل دیده می‌شود که در تعدادی از شبیه‌سازی‌های اجرا شده مسیر فرود به محدوده قید مخروطی نزدیک شده اما الگوریتم پیشنهادی توانسته است از خروج مریخ‌نشین از محدوده مورد نظر جلوگیری کند. برای بررسی کمی دقت‌های به دست آمده از الگوریتم‌های تخمین و کنترل ساختارمتغیر و فیلتر کالمن توسعه یافته-کنترلر تناسبی، مشتقی، میانگین خطای تخمین و کنترل از لحظه همگرایی (با توجه به همگرایی فیلتر کالمن مکعبی-ساختارمتغیر هموار) تا پایان زمان شبیه‌سازی و روی تمام شبیه‌سازی‌های مونت کارلو محاسبه شده و در جدول ۳ گزارش شده است. لازم به ذکر است که برای بررسی عملکرد الگوریتم پیشنهادی در مواجهه با تأخیر زمانی عملکرگاهی کنترلی، شبیه‌سازی‌های مونت کارلو با درنظر گرفتن یک ثانیه تأخیر در ورودی‌های کنترلی تکرار شده و نتایج به دست آمده در ستون سوم جدول ۳ گزارش شده است. همانطور که ملاحظه می‌گردد این میزان تأخیر با افزایش خطای اندکی در فیلتر و کنترل مقاوم پیشنهادی همراه بوده است.

## ۵- نتیجه‌گیری

تخمین و کنترل یکپارچه دینامیک کوپل مریخ‌نشین در فاز نشست در حضور عدم قطعیت‌های متعدد سیستمی و محیطی انگیزه اصلی این پژوهش بوده است. عمله الگوریتم‌های تخمین و/یا کنترل موجود بر مبنای الگوی دقیقی از سیستم توسعه یافته و در مواجهه با خطای مدلسازی دچار افت عملکرد یا حتی واگرایی می‌شوند. در این مقاله،

### جدول ۳. خطای تجمعی برای تخمین و کنترل متغیرهای حالت

Table 3. Accumulated error of the state estimation and control

متغیر حالت	خطای تخمین (تأخیر عملگر)	خطای تخمین (PID-EKF)	خطای تخمین (CK-SVSF)
	خطای کنترل (تأخیر عملگر)	خطای کنترل (PID-EKF)	خطای کنترل (CK-SVSF)
$\varphi(\text{deg})$	۷/۴۰۲۲e-۵	۸/۰۶۳۴e-۴	۸/۹۹۰۸e-۶
$\theta(\text{deg})$	۰/۲۰۲۰	۰/۱۴۵۶	۰/۰۰۱۷
$\psi(\text{deg})$	۲/۳۷۷۲۵e-۴	۰/۰۰۲۷	۱/۹۹۷۵e-۶
$x(\text{m})$	۰/۰۰۶۰	۰/۰۰۵۲	۲/۴۰۱۲e-۴
$y(\text{m})$	۵/۷۹۴۴e-۶	۰/۰۰۳۱	۵/۷۵۶۳e-۶
$z(\text{m})$	۰/۲۰۶۱	۰/۳۵۵۲	۰/۰۰۱۸
$\omega_x(\text{deg/s})$	۰/۹۰۹۷	۱۲/۰۷۱۷	۰/۰۱۷۴
$\omega_y(\text{deg/s})$	۶/۰۶۳۴	۲۲/۶۳۸۸	۰/۲۸۷۲
$\omega_z(\text{deg/s})$	۰/۰۵۲۹	۳/۴۲۸۷	۰/۰۱۱۴
$v_x(\text{m/s})$	۲۴/۶۹۴۸	۰/۴۳۹۲	۰/۲۱۶
$v_y(\text{m/s})$	۱/۰۲۰۰	۰/۵۵۰۱	۰/۰۳۳۲
$v_z(\text{m/s})$	۷۰/۷۵۴۵	۶۵/۶۰۳۱	۰/۸۸۵
	۰/۰۰۱۲	۲/۷۲۳۱e-۴	۵/۷۳۶۴e-۶
	۰/۰۰۴۷	۰/۰۰۳۱	۷/۱۴۴۱e-۵
	۰/۰۰۱۶	۰/۰۰۱۱	۷/۶۶۵۴e-۶
	۶/۷۵۷۱e-۴	۰/۰۰۱۲	۱/۷۴۳۸e-۵
	۰/۰۰۱۵	۹/۵۹۰۴e-۴	۱/۹۴۳۵e-۵
	۰/۰۰۶۶	۰/۰۰۷۷	۵/۷۸۳۶e-۵
	۱/۰۰۹۲	۲/۵۶۹۹	۰/۰۰۳۱
	۳/۹۳۲۳	۳/۳۵۱۴	۰/۰۱۱۹
	۰/۴۶۸۶	۰/۱۰۲۳	۰/۰۰۴۲
	۱/۱۸۲۸	۰/۶۶۱۰	۰/۰۰۴۶
	۰/۲۸۱۱	۲/۶۴۹۷	۰/۱۷۷۵
	۲/۵۸۸۲	۵/۴۰۱۶	۰/۱۹۹۵

## ۶- فهرست علائم

### علائم انگلیسی

بردار موقعیت، $r$	$M_{Actuator}$	گشتاور اعمالی عملگرهای کنترلی، N.m
بردار سرعت، $v$	$M_{dist}$	گشتاور اغتشاشی، N.m
بردار شتاب جاذبه، $g$	$U$	ورودی کنترلی
ماتریس ممان اینرسی، $J$	$K'$	ماتریس ضرایب بهره کنترلی
بردار نیروی پسا، $D$	$Q$	ماتریس کواریانس نویز فرآیند
جرم مربیخنشین، $m$	$R$	ماتریس کواریانس نویز سیستم اندازه‌گیری
	$R_{eq}$	شعاع سیاره مربیخ در صفحه استوا، km
	$A$	مساحت مرجع مربیخ‌نشین، $m^2$
		نیروی اعمالی عملگرهای کنترلی، $F_{Actuator}$

39 (2014) 403-413.

- [5] B. D. Pollard, C. W. Chen, A radar terminal descent sensor for the mars science laboratory mission, in: IEEE Aerospace conference, Big Sky, MT, USA 2009.
- [6] L. Shuang, Jiang, X. and Yufei, L., An innovative navigation scheme of powered descent phase for Mars pinpoint landing, Advances in Space Research, 54(9) (2014) 1888-1900.
- [7] Y. Wu, H. Fu, Q. Xiao, Y. Zhang, Extension of robust three-stage Kalman filter for state estimation during Mars entry, IET Radar, Sonar \& Navigation, 8(8) (2014) 598-609.
- [8] J. L. Crassidis, J. L. Junkins, Sequential State Estimation, in: Optimal estimation of dynamic systems, Chapman and Hall/CRC, 2011, pp. 184-191.
- [9] Q. Xiao, Y. Wu, H. Fu, Y. Zhang, Two-stage robust extended Kalman filter in autonomous navigation for the powered descent phase of Mars EDL, IET Signal Processing, 9(3) (2015) 277-287.
- [10] L. Cheng, Z. Wang, Y. Song, F. Jiang, Real-time optimal control for irregular asteroid landings using deep neural networks, Acta Astronautica, 170 (2020) 66-79.
- [11] B. Acikmese, S. R. Polen, Convex programming approach to powered descent guidance for mars landing, Journal of Guidance, Control, and Dynamics, 30(5) (2007) 1353-1366.
- [12] B. Chengchao, G. Jifeng, Z. Hongxing, Minimum-Fuel Powered Descent Guidance for Mars Landing, in: 9th International Conference on Mechanical and Aerospace Engineering (ICMAE), 2018.
- [13] U. Lee, M. Mesbahi, Constrained autonomous precision landing via dual quaternions and model predictive control, Journal of Guidance, Control, and Dynamics, 40(2) (2017) 292-308.
- [14] T. Reynolds, M. Mesbahi, Small Body Precision Landing via Convex Model Predictive Control, in: AIAA SPACE and Astronautics Forum and Exposition, 2017.
- [15] C. A. Pascucci, S. Bennani, A. Bemporad, Model predictive control for powered descent guidance and control, in: IEEE - European Control Conference (ECC), 2015.

$C_D$	ضریب پسای مریخنشین
$\varphi$	عائمه یونانی
$\theta$	زاویه اویلر حول محور عرضی،
$\psi$	زاویه اویلر حول محور قائم،
$\dot{\mathbf{u}}$	بردار سرعت زاویه‌ای،
$N$	توزیع گاووسی (نرمال)
$\Lambda$	ماتریس ضرایب بهره صفحه لغزش
$\mu$	پارامتر جاذبه مریخ، $\text{km}^3/\text{s}$
$\phi$	زاویه خط سرش مریخنشین نسبت به محور قائم،
$\Psi_{const}$	لایه مرزی ثابت فیلتر
$\gamma$	پارامتر حافظه فیلتر
$\tau$	ضریب وزنی نقاط سیگما
زیرنویس	
$att$	پارامتر متعلق به معادلات وضعیت است.
$pos$	پارامتر متعلق به معادلات موقعیت است.
(:)	کمیت مورد نظر تخمین زده شده است.
بالانویس	

## - مراجع

- [1] B.A. Steinfeldt, Grant, M. J., Matz, D. A. and Braun, R. D., Guidance, navigation, and control system performance trades for Mars pinpoint landing, Journal of Spacecraft and Rockets, 47(1) (2010) 188-198.
- [2] T. Brand, Fuhrman, L., Geller, D., Hattis, P., Paschall, S. and Tao, Y. C, GN\&C technology needed to achieve pinpoint landing accuracy at Mars, in: AIAA/AAS Astrodynamics Specialist Conference and Exhibit, Rhode Island, 2004.
- [3] L. Shuang, Yuming, P., Yuping, L., Liu, Z. and Yufei, L., MCAV/IMU integrated navigation for the powered descent phase of Mars EDL, Advances in Space Research, 46(5) (2010) 557-570.
- [4] L. Shuang, Jiang, X. and Yufei, L., Innovative Mars entry integrated navigation using modified multiple model adaptive estimation, Aerospace Science and Technology,

- Learning, in: AAS/AIAA Astrodynamics Specialist Conference, 2018, pp. 1-20.
- [24] A. Mehta, B. Bandyopadhyay, Frequency-shaped and observer-based discrete-time sliding mode control, Springer, 2015.
- [25] J. E. Slotine, W. Li, Sliding Control, in: Applied nonlinear control, prentice hall Englewood Cliffs, NJ, 1991, pp. 276-307.
- [26] S. Gadsden, smooth variable structure filter: theory and applications, Department of Mechanical Engineering, McMaster University, PhD dissertation, 2011.
- [27] S. A. Gadsden, D. Dunne, S. R. Habibi, T. Kirubarajan, Comparison of extended and unscented Kalman, particle, and smooth variable structure filters on a bearing-only target tracking problem, in: Signal and Data Processing of Small Targets, San Diego, California, United States, 2009, pp. 74450B.
- [28] S.A. Gadsden, M. Al-Shabi, I. Arasaratnam, S. R. Habibi, Combined cubature Kalman and smooth variable structure filtering: A robust nonlinear estimation strategy, Signal Processing, 96 (2014) 290-299.
- [29] H. D. Curtis, Orbital mechanics for engineering students, Butterworth-Heinemann, 2013, pp. 10-16 and 656-660.
- [30] B. Wie, Attitude Dynamics and Control, in: Space Vehicle Dynamics and Control, Second ed., AIAA, 2008, pp. 323-486.
- [16] H. S. Ramirez, A variable structure control approach to the problem of soft landing on a planet, Control Theory Adv. Technology, 6(1) (1990) 53-73.
- [17] J. Orr, Y. Shtessel, Lunar spacecraft powered descent control using higher-order sliding mode techniques, Journal of the Franklin Institute, 349(2) (2012) 476-492.
- [18] Q. Lan, S. Li, J. Yang, L. Guo, Finite-time control for soft landing on an asteroid based on line-of-sight angle, Journal of the Franklin Institute, 351(1) (2014) 383-393.
- [19] Y. Zhang, Y. Guo, G. Ma, G., B. Wie, Fixed-time pinpoint mars landing using two sliding-surface autonomous guidance, Acta Astronautica, 159 (2019) 547-563.
- [20] J. Xu, X. Yu, J. Qiao, Hybrid Disturbance Observer-Based Anti-Disturbance Composite Control With Applications to Mars Landing Mission, IEEE Transactions on Systems, Man, and Cybernetics: Systems, (2019) 1-9.
- [21] S. You, C. Wan, R. Dai, P. Lu, J. R. Rea, Learning-based Optimal Control for Planetary Entry, Powered Descent and Landing Guidance, in: AIAA Scitech 2020 Forum, 2020.
- [22] S. Swaminathan, R. UP, D. Ghose, Real Time Powered Descent Guidance Algorithm for Mars Pinpoint Landing with Inequality Constraints, in: AIAA Scitech 2020 Forum, 2020.
- [23] B. Gaudet, R. Linares, R. Furfarro, Integrated Guidance and Control for Pinpoint Mars Landing Using Reinforcement

چگونه به این مقاله ارجاع دهیم

M. Kiani, R. Ahmadvand, Modified Variable Structure Estimation and Control for Constrained Landing on Mars , Amirkabir J. Mech Eng., 53(10) (2022) 5055-5068.

DOI: [10.22060/mej.2021.19629.7074](https://doi.org/10.22060/mej.2021.19629.7074)

